

Universidad de La Coruña



MECÁNICA DE TEJIDOS  
BLANCH.MERCADER ET AL. SOFT  
MATTER (2017)

*Modelización en Biomedicina*

Miriam Gutiérrez Serrano

# Índice

1. Ecuaciones y condiciones del modelo	2
2. Cambio de variable adimensionalización del sistema	3
3. Resolución analítica	4
4. Resolución numérica de la ecuación para la densidad	6
5. Representación de las variables adimensionales	7
6. Discusión de las hipótesis del modelo	8

# 1. Ecuaciones y condiciones del modelo

Para describir el comportamiento de un tejido en expansión, consideramos el modelo propuesto por Blanch-Mercader et al. (Soft Matter, 2017), que caracteriza el acoplamiento entre los esfuerzos internos, el movimiento celular y la densidad celular.

El sistema de ecuaciones propuesto es el siguiente:

$$\sigma_{xx} = \eta \partial_x v_x \quad (1)$$

$$\partial_x \sigma_x x = \xi v_x - T_0 p_x \quad (2)$$

$$0 = -p_x + L_c^2 \partial_{xx}^2 p_x \quad (3)$$

donde

- $\sigma_{xx}$  representa los esfuerzos extensionales en la dirección  $x$ .
- $\eta$  es el coeficiente de viscosidad o fricción efectiva entre células.
- $v_x$  es la componente de la velocidad celular en la dirección  $x$ .
- $\xi$  representa la intensidad de la fricción con el sustrato.
- $p_x$  describe el campo de polarización, cuya dinámica obedece una ecuación tipo difusión-amortiguamiento.
- El término  $-T_0 p_x$  representa la fuerza activa generada por la polarización celular.

Para completar el sistema, se introduce una ecuación de continuidad para la densidad celular  $\rho(x, t)$ :

$$\partial_t \rho + \partial_x(\rho v_x) = 0, \quad (4)$$

la cual permite calcular la variación de la densidad celular a medida que el tejido se va expandiendo.

Las variables principales del modelo son: el esfuerzo  $\sigma_{xx}$ , la velocidad  $v_x$ , la polarización  $p_x$  y la densidad  $\rho$ . Para resolver el sistema, se imponen las siguientes condiciones de contorno:

- Para la polarización, se asume que se establece rápidamente en el borde del frente, por lo que

$$p_x(x_f) = 1 \quad (5)$$

Lejos del frente, es decir, en  $x \rightarrow -\infty$ , se considera que las células no perciben ninguna señal de movimiento, así imponemos

$$p_x(x \rightarrow -\infty) = 0 \quad (6)$$

- Para el campo de esfuerzos:

$$\sigma_{xx}(x_f) = 0 \quad (7)$$

- Para la velocidad

$$v_x(x \rightarrow -\infty) = 0 \quad (8)$$

- Para la densidad celular:

$$\rho(x \rightarrow -\infty) = \rho_0, \quad (9)$$

donde  $\rho$  representa la densidad inicial uniforme del tejido.

## 2. Cambio de variable adimensionalización del sistema

Sustituimos la variable espacial  $x$  por una nueva variable adimensional  $X$ , definida como:

$$X = \frac{x - x_f(t)}{L_c},$$

donde  $x_f(t)$  representa la posición del frente.

Introducimos además las siguientes variables adimensionales:

$$\Sigma = \frac{\sigma_{xx}}{\sigma_c}, \quad V = \frac{v_x}{v_c}, \quad R = \frac{\rho}{\rho_0}, \quad \lambda = \frac{L_\eta}{L_c} = \sqrt{\frac{\eta}{\xi}} L_c.$$

Aplicando la regla de la cadena para el cambio de variable espacial obtenemos:

$$\partial_x = \frac{1}{L_c} \partial_X, \tag{10}$$

$$\partial_{xx} = \frac{1}{L_c^2} \partial_{XX}. \tag{11}$$

Para simplificar la notación, escribimos  $p_x = P$ .

Sustituyendo en la ecuación (3), obtenemos:

$$0 = -P + \partial_{XX} P.$$

De forma análoga, en la ecuación (1):

$$\sigma_{xx} = \eta \partial_x v_x \Rightarrow \Sigma = \frac{\eta v_c}{\sigma_c L_c} \partial_X V.$$

De aquí se deduce:

$$\partial_X V = \frac{\sigma_c L_c}{\eta v_c} \Sigma.$$

Y en la ecuación (2):

$$\partial_x \sigma_{xx} = \xi v_x - T_0 P \Rightarrow \frac{\sigma_c}{L_c} \partial_X \Sigma = \xi v_c V - T_0 P,$$

que puede escribirse como:

$$-\frac{\sigma_c}{\xi v_c L_c} \partial_X \Sigma = V - \frac{T_0}{\xi v_c} P.$$

A partir de esta última ecuación, definimos la velocidad característica imponiendo:

$$\frac{T_0}{\xi v_c} = 1 \Rightarrow v_c = \frac{T_0}{\xi}.$$

Esta elección refleja un balance entre la fuerza activa generada por la polarización celular y la fricción con el sustrato.

Asimismo, queremos que todos los coeficientes del balance de fuerzas adimensional sean unidad. Para ello, imponemos:

$$\frac{\sigma_c}{\xi L_c v_c} = 1 \Rightarrow \sigma_c = \xi L_c v_c = L_c T_0.$$

Sustituyendo estas relaciones, obtenemos:

$$\frac{\sigma_c L_c}{\eta v_c} = \frac{L_c^2}{\eta/\xi} = \lambda^{-2}.$$

El parámetro adimensional  $\lambda$  cuantifica la relación entre las dos escalas espaciales características presentes en el problema:

1.  $L_c$ : longitud característica que determina la distancia necesaria para que una célula perciba el campo de polarización de otra.
2. Existen dos formas de fricción en el modelo: una fricción local (proporcional a  $\xi v_x$ ), sin escala espacial asociada, y otra derivada del gradiente de velocidad, presente en la ley constitutiva, que introduce una escala espacial característica. Esta se relaciona mediante:

$$\frac{\eta}{\xi} = \text{longitud}^2,$$

por lo que el cociente  $\sqrt{\eta/\xi}$  representa la escala a la que ambas formas de fricción resultan comparables.

Finalmente, la ecuación constitutiva se reescribe como:

$$\partial_X \sigma_{xx} = \eta \partial_{xx}^2 v_x,$$

reflejando la caracterización de la fricción compresiva en la dinámica del tejido.

En resumen, nuestro sistema de ecuaciones adimensional es el siguiente:

$$\lambda^{-2} \Sigma = \partial_X V \quad (12)$$

$$\partial_X \Sigma = V - P \quad (13)$$

$$0 = -P + \partial_{XX}^2 P \quad (14)$$

con condiciones de contorno

$$\Sigma(0) = 0 \quad (15)$$

$$V(-\infty) = 0 \quad (16)$$

$$P(-\infty) = 0 \quad (17)$$

$$P(0) = 1 \quad (18)$$

### 3. Resolución analítica

#### Resolución analítica del sistema adimensional

Partimos de la ecuación adimensional para la polarización  $P$ :

$$0 = -P + \partial_{XX}^2 P. \quad (19)$$

La solución general de esta ecuación lineal de coeficientes constantes es de la forma:

$$P(X) = C_p e^X + D_p e^{-X}.$$

Imponemos las condiciones de contorno:

$$\begin{aligned} P(0) &= 1, \\ P(-\infty) &= 0. \end{aligned}$$

Como  $e^{-X} \rightarrow \infty$  cuando  $X \rightarrow -\infty$ , la condición en  $-\infty$  implica  $D_p = 0$ . Por tanto:

$$P(X) = C_p e^X.$$

Aplicando  $P(0) = 1$ , se obtiene  $C_P = 1$ , y así:

$$P(X) = e^X.$$

Esto refleja que la polarización crece exponencialmente a medida que nos acercamos al frente del tejido. Nos falta calcular la velocidad y los esfuerzos.

Para hallar el campo de velocidades, usamos la ecuación:

$$\lambda^2 \partial_{XX}^2 V = V - P = V - e^X. \quad (20)$$

Proponemos una solución general compuesta por:

$$V(X) = V_h(X) + V_p(X),$$

donde  $V_h$  es la solución de la homogénea asociada y  $V_p$  una solución particular.

Proponemos una solución homogénea  $V_h = e^{\mu X}$ :

$$\mu^2 \lambda^2 = 1 \Rightarrow \mu^2 = \pm \lambda^{-1}.$$

Entonces:

$$V_h(X) = A e^{\frac{X}{\lambda}} + B e^{-\frac{X}{\lambda}}.$$

Buscamos una solución particular de la forma  $V_p(X) = C e^X$ . Sustituyendo:

$$\partial_{XX} V_p = C e^X = V_p - e^X = C e^X - e^X \Rightarrow C = \frac{1}{1 - \lambda^2}.$$

Así, la solución general es:

$$V(X) = A e^X + B e^{-X} + \frac{1}{1 - \lambda^2} e^X.$$

Aplicando la condición de contorno  $V(-\infty) = 0$ , se impone  $B = 0$ .

Evaluando en  $X = 0$ , donde  $\Sigma(0) = 0$ , se obtiene:

$$\begin{aligned} \Sigma &= \lambda^2 \left( \frac{A}{\lambda} e^{\frac{X}{\lambda}} + \frac{e^X}{1 - \lambda^2} \right) \Rightarrow \\ 0 &= \left( \frac{A}{\lambda} + \frac{1}{1 - \lambda^2} \right) \end{aligned}$$

Resolviendo:

$$A = \frac{-\lambda}{1 - \lambda^2}.$$

Sustituyendo:

$$V(X) = \left( \frac{-\lambda e^{\frac{X}{\lambda}} + e^X}{1 - \lambda^2} \right) e^X.$$

A continuación, partimos de la ecuación de conservación de la densidad:

$$\partial_t \rho + \partial_x (\rho v_x) = 0.$$

Definimos las variables adimensionales:

$$X = \frac{x - x_f(t)}{L_c}, \quad T = \frac{t}{t_c}, \quad V = \frac{v_x}{v_c}, \quad R = \frac{\rho}{\rho_\infty}.$$

Derivando por la regla de la cadena:

$$\partial_t = \partial_T \cdot \frac{1}{t_c} + \partial_t X \partial_X = \frac{1}{t_c} \partial_T - \frac{\dot{x}_f}{L_c} \partial_X.$$

Como  $\dot{x}_f = v_c V(0)$ , se tiene:

$$\partial_t R = \frac{1}{t_c} \partial_T R - \frac{v_c V(0)}{L_c} \partial_X R.$$

La derivada respecto de  $x$ ,

$$\partial_x = \partial_x T \partial_T + \partial_x X \partial_X = \frac{1}{L_c} \partial_X$$

La derivada del término de flujo es:

$$\partial_x (\rho v_x) = \frac{1}{L_c} \partial_X (RV).$$

Sustituyendo todo en la ecuación de continuidad:

$$\rho_\infty \frac{1}{t_c} \partial_T R - \rho_\infty \frac{v_c V(0)}{L_c} \partial_X R + \rho_\infty \frac{v_c}{L_c} \partial_X (RV) = 0.$$

Multiplicando por  $\frac{L_c}{v_c \rho_\infty}$  y tomando  $\frac{L_c}{v_c t_c} = 1 \Rightarrow t_c = \frac{L_c}{v_c}$ , obtenemos la forma adimensional

$$\partial_T R - V(0) \partial_X R + \partial_X (RV) = 0. \quad (21)$$

y todos los prefactores quedan de orden unidad.

## 4. Resolución numérica de la ecuación para la densidad

La ecuación de continuidad adimensional que gobierna la evolución temporal de la densidad celular es:

$$\partial_T R - V(0) \partial_X R + \partial_X (RV) = 0,$$

donde  $R(X, T)$  es la densidad celular, y  $V(X)$  la velocidad previamente obtenida analíticamente.

Para resolver numéricamente esta ecuación, se utiliza un esquema explícito basado en la función `solve_ivp` de `scipy.integrate`. La derivada temporal se evalúa utilizando la expresión obtenida por diferenciación espacial del flujo de masa:

$$\partial_T R = V(0) \partial_X R - \partial_X (RV),$$

donde las derivadas espaciales se aproximan mediante diferencias finitas centradas de segundo orden.

La condición inicial impuesta es  $R(X, 0) = 1$ , es decir, densidad uniforme al inicio. El dominio espacial considerado es  $X \in [-20, 0]$  y el tiempo se integra hasta  $T = 10$ .

El resultado de la integración se presenta en la Figura 1, donde se observa la evolución espacio-temporal del campo de densidad.

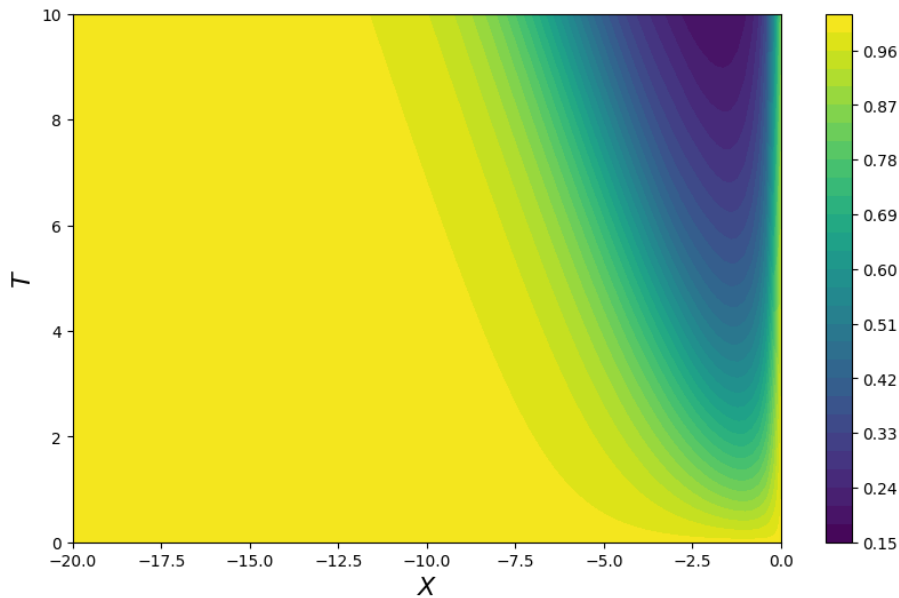


Figura 1: Evolución espacio-temporal del campo de densidad adimensional  $R(X, T)$ .

## 5. Representación de las variables adimensionales

A continuación, se representa gráficamente el perfil espacial de las variables clave del modelo: la polarización  $P(X)$ , el esfuerzo extensivo  $\Sigma(X)$ , y la velocidad  $V(X)$ , usando las expresiones analíticas obtenidas previamente.

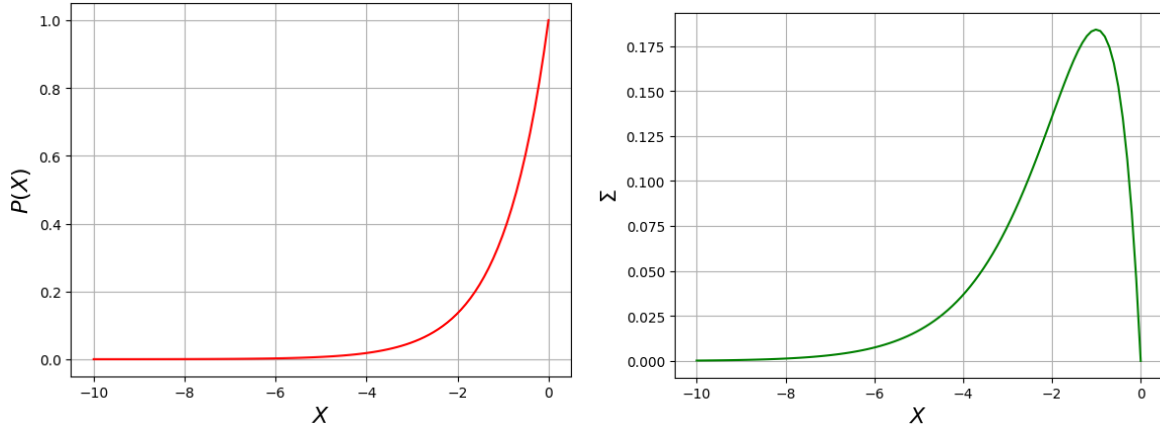


Figura 2: Izquierda: campo de polarización  $P(X)$ . Derecha: campo de esfuerzo extensivo  $\Sigma(X)$ .

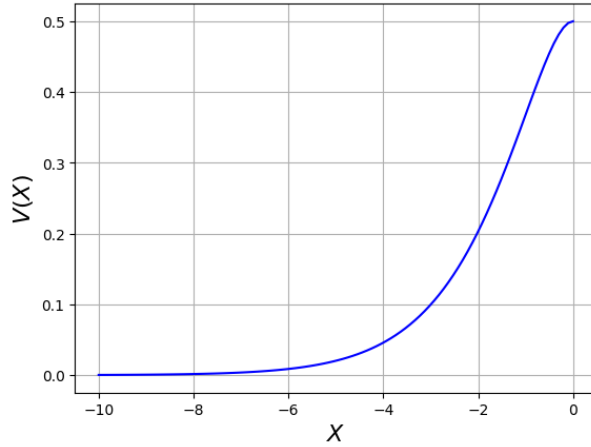


Figura 3: Perfil de la velocidad celular adimensional  $V(X)$ .

La polarización crece exponencialmente cerca del frente ( $X \approx 0$ ), como se espera al imponer  $P(0) = 1$ . El esfuerzo  $\Sigma$  alcanza un máximo en una región intermedia del tejido, disminuyendo en ambos extremos. La velocidad también aumenta hacia el frente.

## 6. Discusión de las hipótesis del modelo

El modelo propuesto reproduce varios comportamientos observados experimentalmente en tejidos celulares:

- El frente de densidad se propaga hacia la izquierda con forma suavizada.
- La forma del perfil de velocidad, creciente hacia el frente, refleja que las células líderes arrastran a las posteriores, fenómeno consistente con la polarización dirigida y la transmisión mecánica entre células.
- La acumulación de esfuerzos en una región intermedia también se ha descrito en experimentos, como indicio de tensiones generadas por la tracción celular.

Este marco continuo y adimensional permite capturar los elementos esenciales de la propagación de un frente de tejido y constituye una base sólida para extender el modelo hacia escenarios más complejos.